

Zeitschrift: Schweizerische Bauzeitung
Herausgeber: Verlags-AG der akademischen technischen Vereine
Band: 81/82 (1923)
Heft: 1: G.e.P.-Festausgabe

Artikel: Das Kraftwerk Ritom der S.B.B.
Autor: Habich, H.
DOI: <https://doi.org/10.5169/seals-38935>

Nutzungsbedingungen

Die ETH-Bibliothek ist die Anbieterin der digitalisierten Zeitschriften auf E-Periodica. Sie besitzt keine Urheberrechte an den Zeitschriften und ist nicht verantwortlich für deren Inhalte. Die Rechte liegen in der Regel bei den Herausgebern beziehungsweise den externen Rechteinhabern. Das Veröffentlichen von Bildern in Print- und Online-Publikationen sowie auf Social Media-Kanälen oder Webseiten ist nur mit vorheriger Genehmigung der Rechteinhaber erlaubt. [Mehr erfahren](#)

Conditions d'utilisation

L'ETH Library est le fournisseur des revues numérisées. Elle ne détient aucun droit d'auteur sur les revues et n'est pas responsable de leur contenu. En règle générale, les droits sont détenus par les éditeurs ou les détenteurs de droits externes. La reproduction d'images dans des publications imprimées ou en ligne ainsi que sur des canaux de médias sociaux ou des sites web n'est autorisée qu'avec l'accord préalable des détenteurs des droits. [En savoir plus](#)

Terms of use

The ETH Library is the provider of the digitised journals. It does not own any copyrights to the journals and is not responsible for their content. The rights usually lie with the publishers or the external rights holders. Publishing images in print and online publications, as well as on social media channels or websites, is only permitted with the prior consent of the rights holders. [Find out more](#)

Download PDF: 19.02.2026

ETH-Bibliothek Zürich, E-Periodica, <https://www.e-periodica.ch>

Werden hohe Stirnmauern durchlaufend angeordnet, so entsteht hierdurch ein zu steifes L-förmiges Gewölbe. Selbstverständlich sind Ausdehnungsfugen über den Kämpfern unerlässlich; im vorliegenden Fall sind sie in konstruktiv und ästhetisch einwandfreier Weise hinter den Vorbauten der Pfeiler und Widerlager angeordnet worden, indem die Stirnmauern nur auf eine Länge von rd. 25 cm hinter diese Vorbauten reichen und durch Pappeinlagen von diesen getrennt wurden. Zur weiteren Verminderung der Steifigkeit des trogförmigen Gewölbes bzw. des Einflusses einer Temperaturänderung wurden in jeder Stirnmauer eines Gewölbes sieben Zwischenfugen angeordnet, die über zwei Drittel der Mauerhöhe hinabreichen. Diese Fugen tiefer, etwa bis zum Gewölbe hinabreichen zu lassen, schien, mit Rücksicht auf die am untern Ende der Fugen unvermeidliche Spannungs-Konzentration, nicht ratsam.

Neuerdings ist bekannt geworden, dass bei verschiedenen Brücken umfangreiche Ausbesserungsarbeiten nötig geworden sind, weil sich Längsrisse im Gewölbe am Fusse der Stirnmauern gebildet hatten, denen ein Ausweichen der Stirnmauern folgte. Solche Erscheinungen werden eventuell erst lange Zeit [nach Erstellung der Brücke bemerkbar; dies liegt wohl zum Teil darin begründet, dass bei schlechter Entwässerung der Kiesfüllung, ein langsames Auslaugen des Mörtels, somit eine Verminderung seiner Querfestigkeit entsteht.

Lehrgerüst (Abbildung 12). Das Gewölbe wäre für sich allein, ohne Aufbau, nicht standsicher, denn das Gewicht der Kiesfüllung verschiebt die Drucklinie für ständige Last in den Bogenwickeln ganz bedeutend nach oben, sodass infolge des Gewölbe-Eigengewichtes allein die Drucklinie teilweise unter dem Gewölbe liegen würde. Vor Schluss der unteren Gewölbeflammen wurden daher bedeutende Kiesauflasten (im Längsschnitt Abbildung 3 links eingezeichnet) zwischen den Stirnmauern aufgebracht, derart, dass nachdem — eventuell unbeabsichtigt, z.B. infolge bedeutender Temperaturzunahme — das Ausrüsten stattgefunden hat, die Drucklinie des Gewölbes im Kern verläuft. Auch hierzu war die vorerwähnte Verstärkung der Gewölkämpfer zweckmäßig.

Jeder Lehrbogen ruhte vermittelst eiserner Konsolen auf den Pfeilern sowie auf zwei hölzernen Pfahljochen auf. Ueber jedem Joch waren die Lehrbogen-Stützen in senkrechter und zwei schrägen Richtungen fächerartig ausgebrettet. Das Ausrüsten erfolgte in der Weise, dass durch Senkung der gegen Öffnungsmitte zu liegenden Schrägen-Stützpunkte auf den Jochköpfen zuerst der Gewölkbeschitel entlastet wurde, ohne dass etwa im Viertel eine Hebung des Gewölbes hätte eintreten können. Hierauf wurden die äussern Stützpunkte auf jedem Joch gesenkt. Eine solche Doppelstütze bestand aus einem Sattelholz auf zwei Holzunterlagen, die Absenkung erfolgte durch allmähliche Verminderung der Lagerflächen des Sattelholzes und seiner Unterlagen.

Brückenbild. Abbildung 13 zeigt den Bauzustand vor Stauung des Rheines, während Tafel 4 das Brückenbild

nach Inbetriebsetzung des Kraftwerkes Eglisau darstellt. Die Kanzeln über den Flusspfeilern sind organisch mit den Pfeilervorköpfen verbunden. Auch die Widerlager sind gegenüber den Gewölbén verbreitert, sie öffnen sich zur Einführung der parallel zum Strom liegenden Strassen.

Das alte Städtchen Eglisau, mit seinen derb gemauerten Ufer- und Strassenmauern, veranlasste die Verkleidung der grossen Brückenansichtsflächen nach dem Muster der Brücken des Mittelalters (*pietra rasa*, vergl. unteres Tafel-

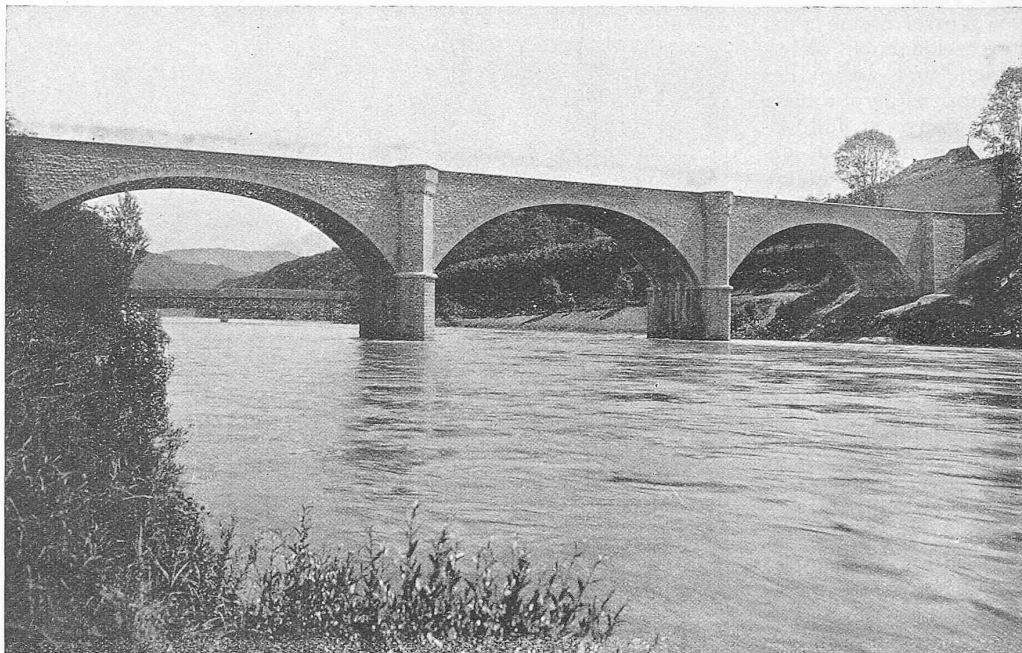


Abb. 13. Die neue Rheinbrücke Eglisau vor der Einstauung; im Hintergrund die alte Holzbrücke.

bild). Die Verkleidung der Stirnflächen des Gewölbes erhielt radiale Fugen.

Bauzeit. Die Verhältnisse der Kriegszeit haben die Förderung der Bauarbeiten wesentlich beeinträchtigt. Die Fundation der beiden Flusspfeiler wurde im Jahre 1917 ausgeführt, die drei Gewölbe im Jahre 1918. Die Brücke ist im September 1919 dem Verkehr übergeben worden.

Das Kraftwerk Ritom der S. B. B.

III. Mechanisch-elektrischer Teil.

Von dipl. Ing. H. Habich, S. B. B., Bern.

(Fortsetzung von Seite 321 letzten Bandes.)

Die Generatoren.

Konstruktion. Die vier mit den Turbinen direkt gekuppelten Generatoren (Abbildung 56) erzeugen bei einer normalen Drehzahl von 333 in der Minute Einphasen-Wechselstrom von $16\frac{2}{3}$ Perioden in der Sekunde bei einer Spannung von 7500 bzw. 15000 Volt, gleich derjenigen des Fahrdrähtes; sie leisten dauernd 9000 kVA und $1\frac{1}{2}$ -ständig 11500 kVA bei einer vorausgehenden und nachfolgenden Belastung von 7000 kVA. Die Speisung der Fahrleitung mit nur 7500 Volt musste im Anfang während der Dauer des gemischten Betriebes (Dampf und elektrischer Betrieb) erfolgen, weil die stark verrussten Isolatoren in den Tunneln eine höhere Spannung nicht aushielten.

Die Generatoren sind mit Rücksicht auf die besonderen Anforderungen des Vollbahnbetriebes in allen Teilen sehr kräftig gebaut und mit vollständig geschlossenem Gehäuse ausgeführt (Abbildung 57 und 58). Die 10,7 t wiegende, zum Zwecke der Materialkontrolle auf der ganzen Länge durchbohrte *Generatorwelle* (Abbildung 59) ist durch einen angeschmiedeten Flansch starr mit der Turbinenwelle gekuppelt. Die axiale Führung der ganzen dreilagerigen

Turbinen-Generator-Gruppe erfolgt durch das mittlere Generatorlager und ist daher auch noch vorhanden, wenn der Generator zu Versuchszwecken mit abgekuppelter Turbine als Motor angetrieben läuft. Die Lager sind mit Ringschmierung und Wasserkühlung durch in die Lagerschalen eingegossene Kühlröhren versehen; sie stehen auf getrennten Fussplatten, das Erregerlager ist zur Vermeidung von Lagerströmen isoliert aufgestellt. Die Lager sind so bemessen, dass sie im Falle des Ausbleibens des Kühlwassers noch einige Stunden ohne schädliche Erwärmung im Betrieb bleiben können.

Das Polrad, dessen Umlaufgeschwindigkeit im grössten Durchmesser von 3448 mm bei 333 Uml/min 60 m/sec beträgt, besteht aus einem mit zwei Schrumpftringen auf die Welle gepressten Radstern aus Grauguss und einem Radkranz aus Stahlguss mit sechs angegossenen, kreisrunden Polkernen (Abbildung 59 bis 61). Aus Transportrücksichten ist es senkrecht zur Wellenaxe geteilt; ohne Polschuhe wiegt es rund 23 t. Der Radkranz ist zur besseren Materialkontrolle aus vier einzelnen, durch Luftschlitzte teilweise getrennten Ringen zusammengesetzt, die warm auf dem Radstern aufgezogen, durch Bolzen zusammengepresst und am Drehen verhindert werden. Die 2,3 t schweren Polschuhe sind mit kräftigem Trapezgewinde auf den Polkernen aufgeschraubt und mit Schrauben gegen Verdrehen gesichert. — Die Bleche der Polschuh-Lamellierung sitzen in schwalbenschwanzförmigen Nuten und werden seitlich durch je eine Endplatte gehalten; ihre Form ist so gewählt, dass die Kurve der elektromotorischen Kraft praktisch sinusförmig wird. Ueberdies sind die Nuten im Stator schief gestellt. — Die kreisrunden

Magnetspulen sind aus hochkantig gestelltem Flachkupfer gewickelt und unter starkem Druck zu einem festen Körper zusammen gepresst. Mit Pressplatten und federnden Unterlagscheiben sind sie gegen Verschiebungen infolge äusserer Kräfte gesichert; die runde Form macht besondere Massnahmen zum Schutze gegen allfälliges Ausbauchen überflüssig. Zur Abführung der Stromwärme dienen 15 nur 1 cm über den äusseren Umfang zusammenge-

der Windungen vorstehende Kühlrippen; ferner kann die Luft zwischen Polkern und Spulen-Innenfläche durchstreichen. — In den Polschuhblechen ist eine kräftige Dämpferwicklung aus Kupferstäben eingebaut, die an beiden Enden durch über den ganzen Rotorumfang verlaufende Kupferringe zu einer Käfigwicklung zusammengeschlossen werden.

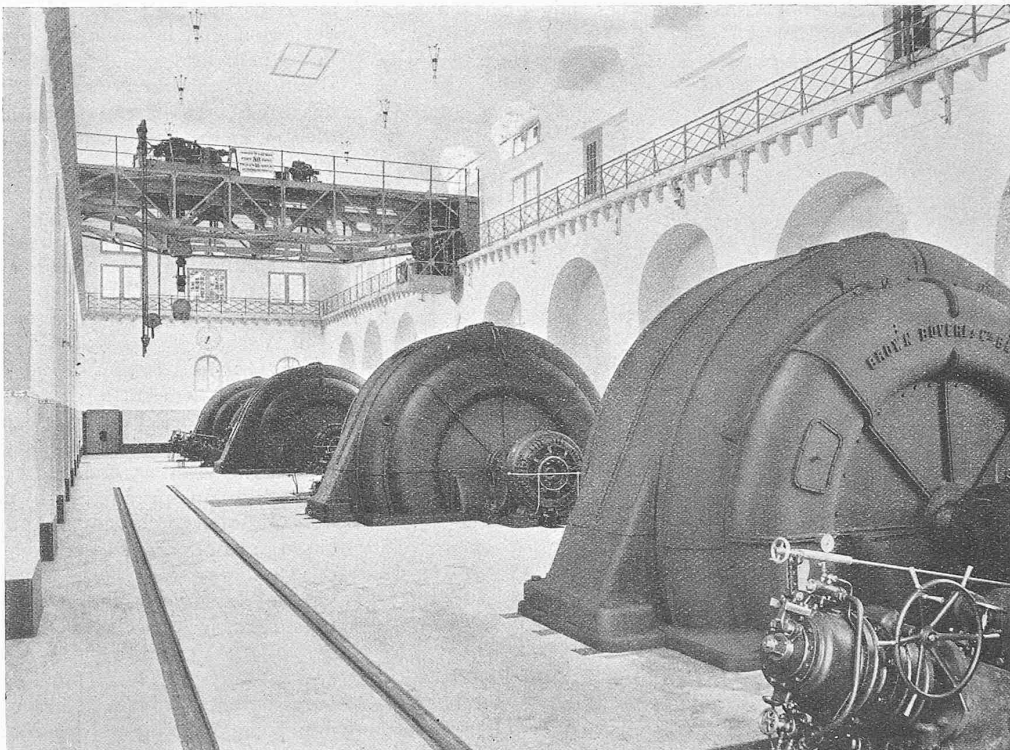


Abb. 56. Maschinensaal des Kraftwerkes Ritom mit den 9000 kVA Einphasenstrom-Generatoren.

Der Erregerstrom wird in einer fliegend auf der Welle angeordneten Erregermaschine von 80 kW bei 160 Volt erzeugt und dem Rotor mittels Kohlenbürsten über eiserne Schleifringe zugeführt. Der Rotor mit Welle und Erregeranker wiegt rd. 78 t.

Der aus Transportrücksichten in vier Teile von je 24 t (ohne Wicklung) geteilte Stator (Abbildung 62) stützt sich mit zwei abnehmbaren Füßen auf zwei im Maschinenraumboden eingebettete Grundplatten und wird außerdem von vier in der Fundamentgrube gelagerten Rollen unterstützt. Diese Bauart ermöglicht nach Entfernen der Statorfüsse ein Drehen des Stators um seine Axe in jede beliebige Lage, was besonders beim Einbau der Spulen und bei allfälligen Reparaturen von grossem Vorteil ist.

— Der durch zahlreiche Luftschlitzte unterteilte aktive Eisenkörper hat 3500 mm Bohrung; die Bleche von 560 mm Höhe sind am äussern Umfang durch trapezförmige Keile und beidseitig durch kräftige Pressplatten zusammenge-

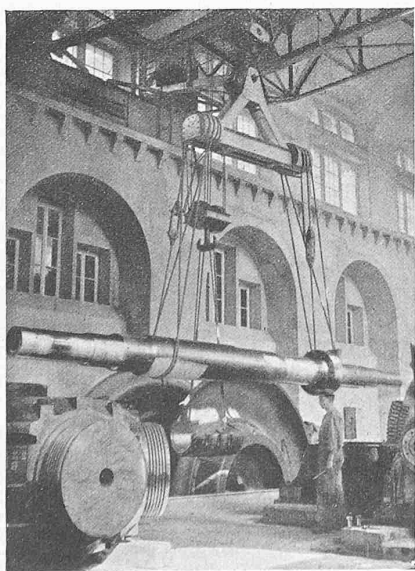


Abb. 59. Welle des Generators.

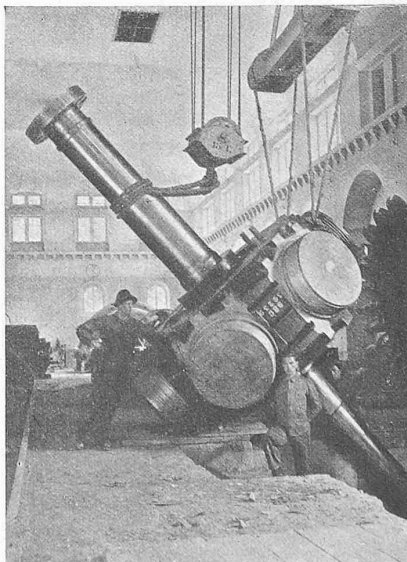


Abb. 60. Polrad, ohne Polschuhe.

halten. Durch Schieftstellung dieser Keile bezüglich der Drehaxe wird die bereits erwähnte Schieftstellung der Nuten um eine Nutenteilung erzielt. — Die Statorwicklung besteht aus einzelnen, in der Werkstatt vollständig fertiggestellten Spulen, die in offene Nuten eingebettet sind und mit Holzkeilen festgehalten werden. Auf eine gute Versteifung der Spulenköpfe (Abbildung 62) wurde besonders Wert gelegt, da der Bahnbetrieb erfahrungsgemäss mit häufigen Kurz-

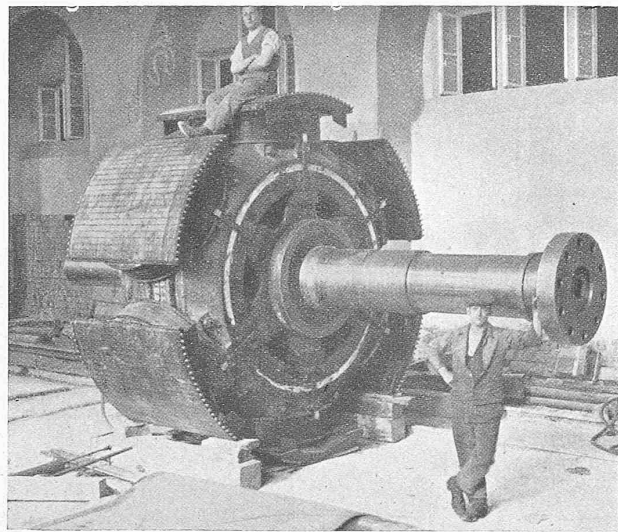


Abb. 61. Polrad mit aufgesetzten Magnetspulen und Polschuhen.

schlüssen zu rechnen hat. Die Spulen sind hauptsächlich mit Glimmer isoliert und gegen Ozonbildung durch sogen. Kompondierung geschützt; an ihren Austrittstellen aus dem Eisen liegt zur bessern Feldverteilung an ihrem äussern Umfang ein geerdeter Blechmantel. Zur möglichsten Vermeidung von Glimm-Erscheinungen wurden die fertigen Spulen erfolgreich mit einem leitenden Farbanstrich versehen.

Zwei seitlich am Rotor angeschraubte, aus Eisenblech hergestellte Ventilatoren saugen die *Kühlluft* durch zwei Kanäle aus einem für alle Generatoren gemeinsamen Frischluftgang an, dem die Luft durch besondere Schächte (C in Abb. 39, S. 306, Bd. 81) ohne Filter aus dem Rohrleitungshaus zuströmt. Die Luft umspült Erreger- und Statorwicklung, tritt teilweise auch durch die Schlitzte im Rotor- und Statorkörper und sammelt sich in einem um den Stator verlaufenden Ringraum, der im Fundament durch Öffnungen mit einem in der Queraxe des Generators liegenden, durch Blechverschalungen von den parallelen Kaltluftkanälen abgeschlossenen Warmluftkanal in Verbindung steht. Aus diesem kann die erwärmte Luft durch vom Maschinensaal aus verstellbare Klappen entweder ins Freie (D in Abbildung 39) oder zum Heizen in den Maschinensaal, bzw. bei Generator 3 und 4 in das Schaltanlagegebäude geleitet werden. Besondere Lüftungsfenster ermöglichen auch die Herstellung einer Verbindung des Maschinensaales mit dem Rohrleitungshaus, um dort im Winter die angesaugte Kühlung etwas zu temperieren und gleichzeitig das Einfrieren von Wasserleitungen zu verhindern.

Spannungs- und Strom-Regulierung. Die Spannung wird durch einen in den Nebenschlusskreis des Erregers jedes Generators eingeschalteten Schnellregler, Bauart Brown, Boveri & Cie., selbsttätig reguliert. Das Drehsystem des Reglers wird in erster Linie beeinflusst von der durch einen besondern Spannungstransformator von 15000 (7500)/110 V übertragenen Generatorenspannung, in zweiter Linie wirkt über einen besonderen Stromtransformator von 1600 (800)/5 A der Generatorstrom ausgleichend auf die Phasenverschiebung parallel laufender Generatoren oder Kraftwerke. Die Regler haben statischen Charakter und sind infolgedessen, ohne besondere Verbindungsleitungen unter sich zu benötigen, stabil, d. h. die Regler haben die Tendenz, die Phasenverschiebung jedes einzelnen Generators in Uebereinstimmung mit derjenigen des Netzes konstant zu halten. Ein Umschalter ermöglicht den raschen Uebergang von automatischer auf Handregulierung der Spannung.

Zur Vermeidung eines zu hohen Spannungsanstieges beim Durchgehen einer Maschine wird durch ein einstell-

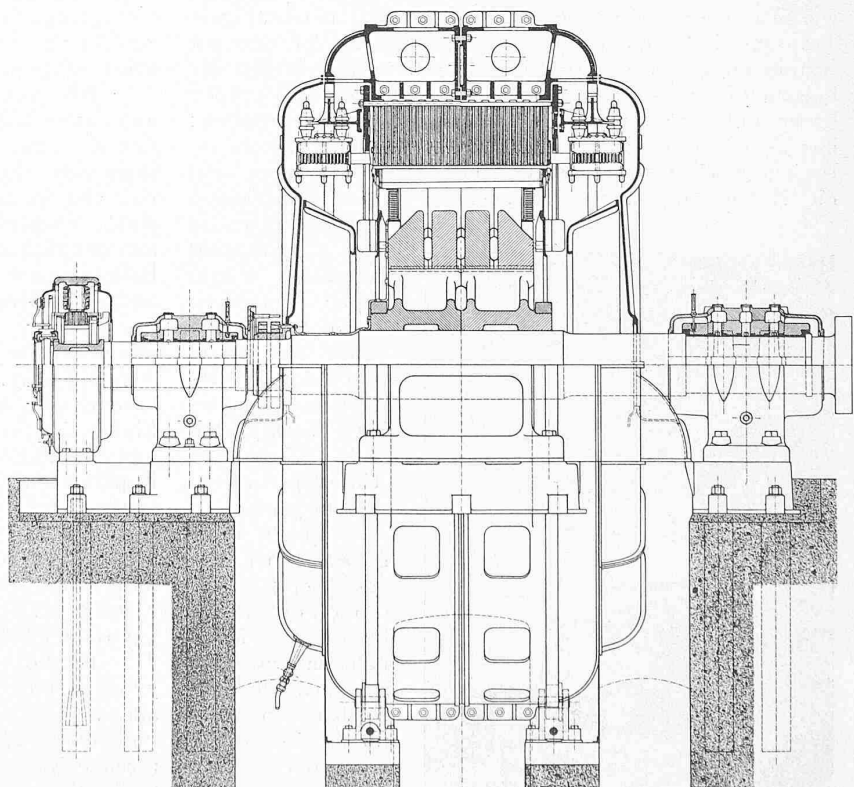
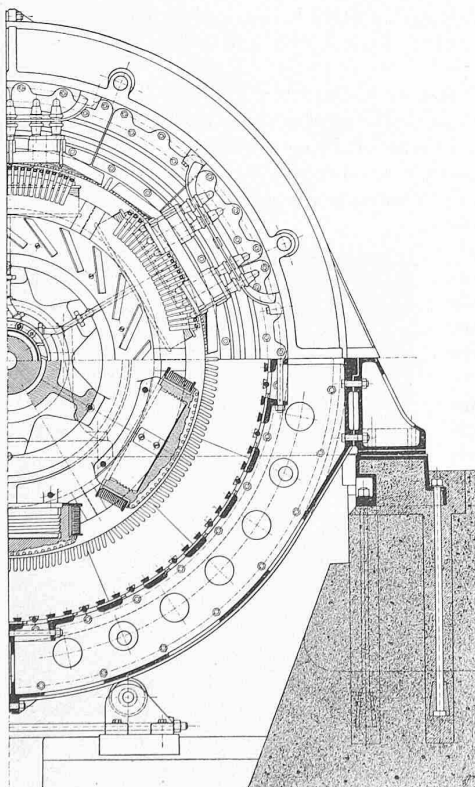


Abb. 57 und 58. Einphasenwechselstrom-Generator von 9000 kVA Dauerleistung, 333 $\frac{1}{3}$ Uml/min, 15000 V, 16 $\frac{2}{3}$ Per.
Geliefert von der A.-G. Brown, Boveri & Cie. in Baden. — Ansichten und Schnitte 1 : 60.

bares Spannungsrelais ein Umschalter betätigt, der den ganzen verfügbaren Regulierwiderstand im Nebenschlusskreis des Erregers einschaltet und dadurch die Spannungserhöhung beschränkt; gleichzeitig wird auch die Maschine durch Ausschalten des Oelschalters vom Netze getrennt. — Die Ueberstromschutz-Regulierung hat den Zweck, das Ansteigen des Generatorstromes über einen in den Grenzen von 1,2 bis 2-fachem Normalstrom einstellbaren Wert zu verhindern und wird durch einen auf gleichem Prinzip wie der erwähnte Spannungsregler beruhenden Schnellregler bewirkt. Dieser Stromregler wird nur vom Generatorstrom durch einen besondern Stromwandler von 1200 (600)/1 A beeinflusst und schaltet beim Ansprechen Widerstände in den Nebenschlusskreis der Erregermaschine, die bei normaler Generatorstromstärke in der einen Endlage des Reglers kurzgeschlossen sind. Bei einem Kurzschluss arbeiten der Spannungs- und der Stromregler infolge der sinkenden Generatorenspannung einander entgegen; der Stromregler überwiegt jedoch und wirkt, solange der zu hohe Strom anhält, feldschwächend.

Versuchsergebnisse. Im Kraftwerk wurden ausführliche Abnahmeversuche vorgenommen, deren wichtigste Ergebnisse nachstehend mitgeteilt werden sollen. Zur Bestimmung der Erwärmung der Generatoren war einer davon mit einer Anzahl Thermo-Elementen ausgerüstet, von denen allerdings nur die im Statorreisen eingebetteten benutzt werden konnten, während die am Kupfer der Wicklungen liegenden bei der Messung leider versagten. Die höchste Temperaturzunahme wurde im Statorreisen bei 10% höherer Spannung (8250 Volt) am äußeren Umfang gemessen und betrug 50° C (garantiert 70°); bei normaler Spannung sinkt dieser Wert auf 44°, die mittlere Uebertemperatur des Eisens der übrigen Elemente beträgt etwa 35°. Im Statorkupfer wurde durch Widerstandsmessung am Ende der 1½-stündigen Ueberlast eine Temperaturzunahme von 68° festgestellt (garantiert 85°) unter Berücksichtigung der Korrekturen nach den amerikanischen Normalien.

Die Wirkungsgrade wurden vertragsgemäß nach der Einzelverlustmethode aus dem Leerlauf eines Generators als Synchronmotor mit abgekuppelter Turbine und aus Widerstandsmessungen zur Bestimmung der Stromwärme-Verluste berechnet. Für den Leerlaufversuch waren die Rotoren des als Stromquelle dienenden Generators und des Synchronmotors in Reihe geschaltet und fremderregt, der Anlauf gelang bei rd. 150 A Erregung gut. Das Schwungmoment des Rotors wurde aus dem Auslaufversuch (bei erregtem Motor) bestimmt und zu 407 000 kgm² (garantiert rd. 350 000 kgm²) gefunden; ein zweiter Auslaufversuch mit unerregtem Motor ermöglichte unter Verwendung des gefundenen Schwungmomentes die Bestimmung der Reibungs- und Ventilations-Verluste. Erstere konnten aus der Kühlwasser-Erwärmung getrennt berechnet werden. Nachstehend sind die Einzelverluste für Dauerlast von 9000 kVA, $\cos \varphi = 0,75$, $E = 7500$ Volt, $n = 333 \frac{1}{3}$ zusammengestellt; aus Abbildung 63 sind die Wirkungsgrade ersichtlich.

Reibungsverluste der beiden Generatorenlagern	17,0 kW
Ventilationsverluste	106,0 kW
Eisenverluste Stator	155,0 kW
Kupferverluste Stator bei $I = 1200$ A	43,8 kW
Kupferverluste Rotor bei $i_e = 435$ A	53,5 kW
Kupferverluste Erreger	2,5 kW
Bürstenverluste (Erreger u. Schleifringe, je 2 V)	1,7 kW

Total der messbaren Einzelverluste 379,5 kW

Die Frisch- und Warmluft-Kanäle gestatten den Wirkungsgrad auch aus der Erwärmung der Kühlung zu be-

stimmen. Die Messungen ergaben bei einer Belastung von 6750 kW, $\cos \varphi = 0,75$ eine Luftmenge von 26,8 m³/sek und eine durchschnittliche Temperaturerhöhung von 19,8° C entsprechend einem Verlust von 591 kW; unter Hinzurechnung der hierbei nicht berücksichtigten Lagerreibung- und Erreger-Verluste erhöht sich der Gesamtverlust um 23 kW auf 614 kW, gegenüber 379,5 kW aus den Einzelverlusten

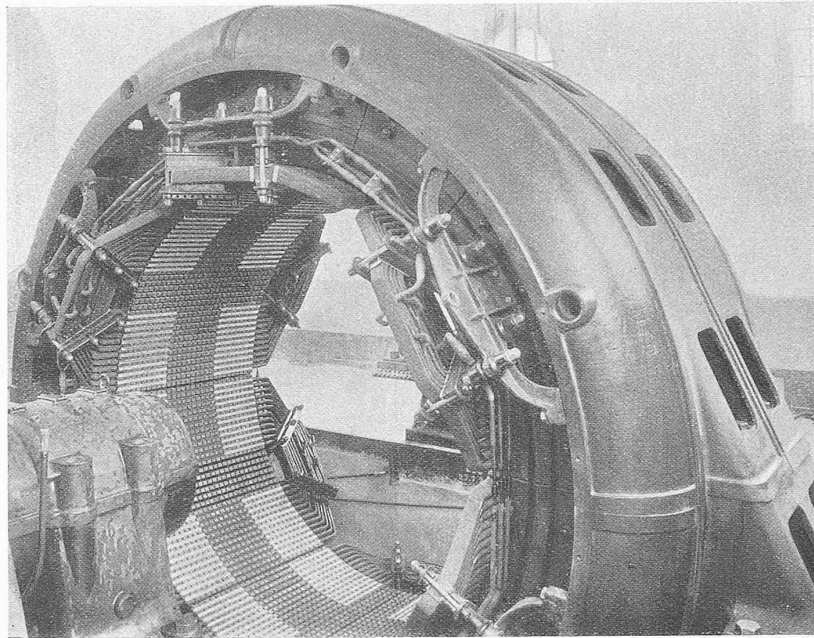


Abb. 62. Stator des 9000 kVA Einphasenstrom-Generators des Kraftwerkes Ritom.

berechnet. Der Unterschied kann als „zusätzliche Verluste“ aufgefasst werden. Diese verringern für den betrachteten Belastungspunkt den aus den Einzelverlusten berechneten Wirkungsgrad um 3% auf 91,7%. Bei induktionsfreier Belastung beträgt der Einfluss der zusätzlichen Verluste nur noch 1% bei 7000 kW und 0,7% bei 3890 kW.

Die Kurzschlussversuche und die im Betriebe vorkommenden ziemlich häufigen Kurzschlüsse haben gezeigt, dass die Generatoren den erhöhten mechanischen und elektrischen Beanspruchungen gewachsen sind. Die aufgenommenen Oszillogramme sind leider nicht so gut gelungen, dass sie sich für eine Reproduktion eignen.

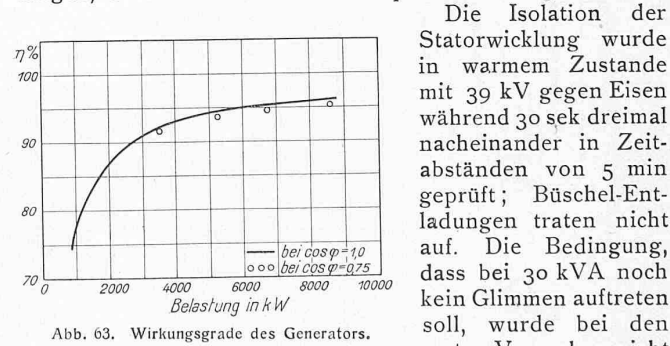


Abb. 63. Wirkungsgrade des Generators.

erfüllt; durch wiederholten Anstrich mit der bereits erwähnten leitenden Farbe konnte jedoch das Glimmen beseitigt werden. Die Rotorwicklung wurde auf gleiche Weise wie der Stator mit 1,5 kV geprüft.

Proben mit erhöhter Drehzahl bis $n = 500$ in der Minute wurden mit allen Generatoren sowohl in erregtem als auch in unerregtem Zustand durchgeführt. Bei einer Gruppe wurde die Erregung mit steigender Drehzahl nicht vermindert, sondern auf dem bei $n = 333 \frac{1}{3}$ Uml/min eingestellten Wert von $i_e = 498$ A (entsprechend Vollast-Erregung) $E = 9200$ V unverändert gelassen; für $n = 500$ war $i_e = 870$ A und $E = 15400$ V. (Forts. folgt.)